

Non-negative Matrix Factorization (*'Learning from Incomplete Ratings Using Non-negative Matrix Factorization'*. Abril, 2006)

Jorge Schellman

Autores:
S. Zhang
W. Wang
J. Ford
F. Makedon

Introducción: NMF

En descomposición SVD admitimos que $R = U \tilde{S} V^T$ (sin restricción).

En NMF hacemos $R = P Q^T$, con todas las entradas positivas.

Al restringir la descomposición a valores no-negativos podemos reconstruir R como combinación lineal con coeficientes positivos de los vectores de la base:

$$R^{(j)} = P Q^{T(j)} = \sum_{i=1}^k P^{(i)} Q_i^{T(j)}$$

Introducción: NMF

$$R_{n \times m} \approx \tilde{R}_{n \times m} = P_{n \times k} \times Q_{k \times m}^T$$

$$\begin{array}{c}
 \begin{array}{cc}
 & \begin{array}{c} i1 \\ \downarrow \\ 4 \end{array} & \begin{array}{c} i2 \\ \downarrow \\ 1 \end{array} \\
 u1 \rightarrow & & \\
 u2 \rightarrow & \begin{array}{c} 3 \\ 2 \end{array} & \\
 \end{array} &
 \begin{array}{c}
 \begin{array}{cc}
 & \begin{array}{c} f1 \\ \downarrow \\ 1 \end{array} & \begin{array}{c} f2 \\ \downarrow \\ 2 \end{array} \\
 u1 \rightarrow & & \\
 u2 \rightarrow & \begin{array}{c} 3 \\ 4 \end{array} & \\
 \end{array} &
 \begin{array}{c}
 \begin{array}{cc}
 & \begin{array}{c} f1 \\ \downarrow \\ 3 \end{array} & \begin{array}{c} f2 \\ \downarrow \\ 5 \end{array} \\
 i1 \rightarrow & & \\
 i2 \rightarrow & \begin{array}{c} 2 \\ 1 \end{array} & \\
 \end{array}
 \end{array}
 \end{array}$$

En paper: $A \approx X = UV$

$$\begin{array}{c}
 \begin{array}{c} \downarrow \\ \downarrow \\ \downarrow \end{array} \\
 (\tilde{R}^T = QP^T)
 \end{array}
 \qquad
 \begin{array}{c}
 \begin{array}{cc}
 & \begin{array}{c} f1 \\ \downarrow \\ 3 \end{array} & \begin{array}{c} f2 \\ \downarrow \\ 5 \end{array} \\
 i1 \rightarrow & & \\
 i2 \rightarrow & \begin{array}{c} 2 \\ 1 \end{array} & \\
 \end{array} \\
 \\
 \begin{array}{c}
 \begin{array}{cc}
 & \begin{array}{c} u1 \\ \downarrow \\ 1 \end{array} & \begin{array}{c} u2 \\ \downarrow \\ 3 \end{array} \\
 f1 \rightarrow & & \\
 f2 \rightarrow & \begin{array}{c} 2 \\ 4 \end{array} & \\
 \end{array}
 \end{array}$$

Interpretación de Matrices

$X_{n \times m}$: matriz que se aproxima a A con rango a lo más k.

$U_{n \times k}$: matriz cuyas columnas son 'perfiles de rating representativos de cada comunidad de usuarios'.

$$U = \begin{array}{cc} & \begin{array}{c} f1 \\ \blacktriangledown \\ 3 \end{array} & \begin{array}{c} f2 \\ \blacktriangledown \\ 5 \end{array} \\ \begin{array}{c} i1 \rightarrow \\ i2 \rightarrow \end{array} & \begin{array}{cc} 3 & 5 \\ 2 & 1 \end{array} \end{array}$$

$V_{k \times m}$: matriz cuyas columnas son 'afinidades de cada usuario con todas las comunidades de usuarios'.

$$V = \begin{array}{cc} & \begin{array}{c} u1 \\ \blacktriangledown \\ 1 \end{array} & \begin{array}{c} u2 \\ \blacktriangledown \\ 3 \end{array} \\ \begin{array}{c} f1 \rightarrow \\ f2 \rightarrow \end{array} & \begin{array}{cc} 1 & 3 \\ 2 & 4 \end{array} \end{array}$$

Obtención de X :

Caso matriz A *fully observable*

Maximizamos el log-likelihood de la distribución de A dado X , lo que es equivalente a encontrar matrices no-negativas U y V que minimicen la norma cuadrada de Frobenius:

$$\max \log \Pr (A | X) \Leftrightarrow \min \| A - UV \|_F^2$$

Luego se puede usar la técnica de multiplicadores de Lagrange para encontrar fórmulas de actualización para U_{ij} y V_{ij} .

Obtención de X : Caso matriz A *sparse*

Queremos maximizar $\log \Pr(A^\circ | X)$.

Para esto 2 vías: **procedimiento EM** y **NMF ponderada**.

Una vez encontrado X , tomamos la predicción como X_{ij} dado que asumimos que $E(A_{ij}) = X_{ij}$ (cuando no se conoce A_{ij}) y que $\Pr(A_{ij} | X_{ij})$ obtiene su máximo cuando $A_{ij} = X_{ij}$

Procedimiento EM

- Expectación-Maximización:

1. Expectación: en la iteración t calcular el valor de expectación del log-likelihood de toda la data con respecto a los datos desconocidos (A^u) dado los observados (A^o) y la actual estimación $X^{(t-1)}$.

$$Q(X, X^{(t-1)}) = E[\log \Pr(A^o, A^u | X) | A^o, X^{(t-1)}]$$

2. Maximización:

$$X^{(t)} = \underset{X}{\operatorname{argmax}} Q(X, X^{(t-1)})$$

Si A' matriz con datos observados más datos no observados reemplazados por la actual iteración, se puede demostrar que:

$$X^{(t)} = \underset{X}{\operatorname{argmin}} \sum_{ij} (A'_{ij} - (UV)_{ij})^2$$

WNMF

- Weighted Non-negative Matrix Factorization:

El log-likelihood de los datos observados podemos expresarlos como:

$$\log Pr(A^o|X) = \frac{-1}{2\sigma^2} \sum_{A_{ij} \in A^o} (A_{ij} - X_{ij})^2 + C$$

Maximizar lo anterior es igual a minimizar $\sum_{ij} W_{ij} (A_{ij} - (UV)_{ij})^2$

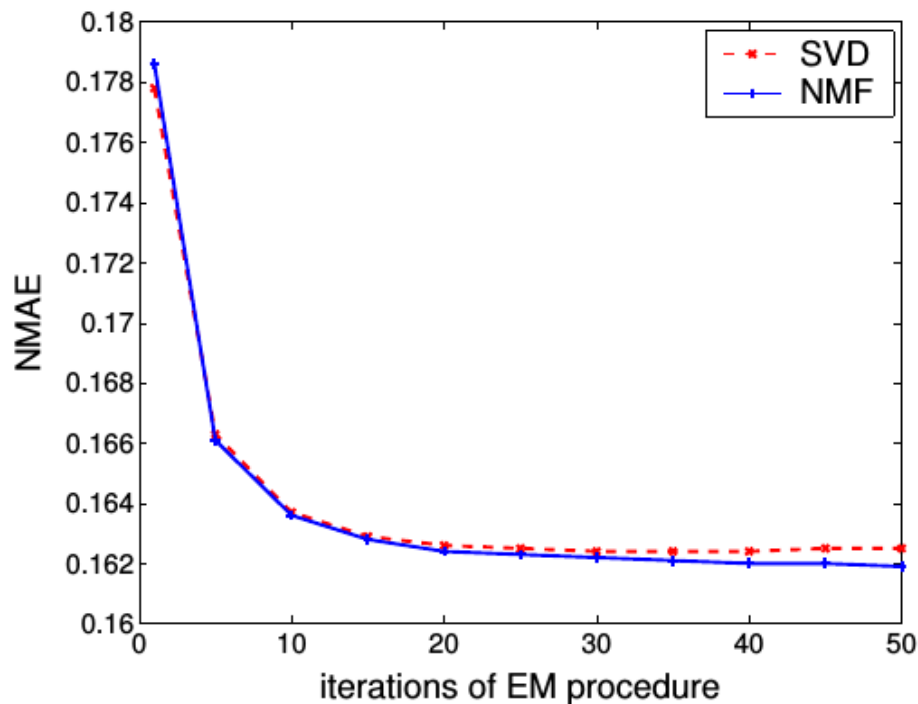
donde $W_{ij} = 1$ si A_{ij} es la entrada observada y 0 si no.

Experimentos

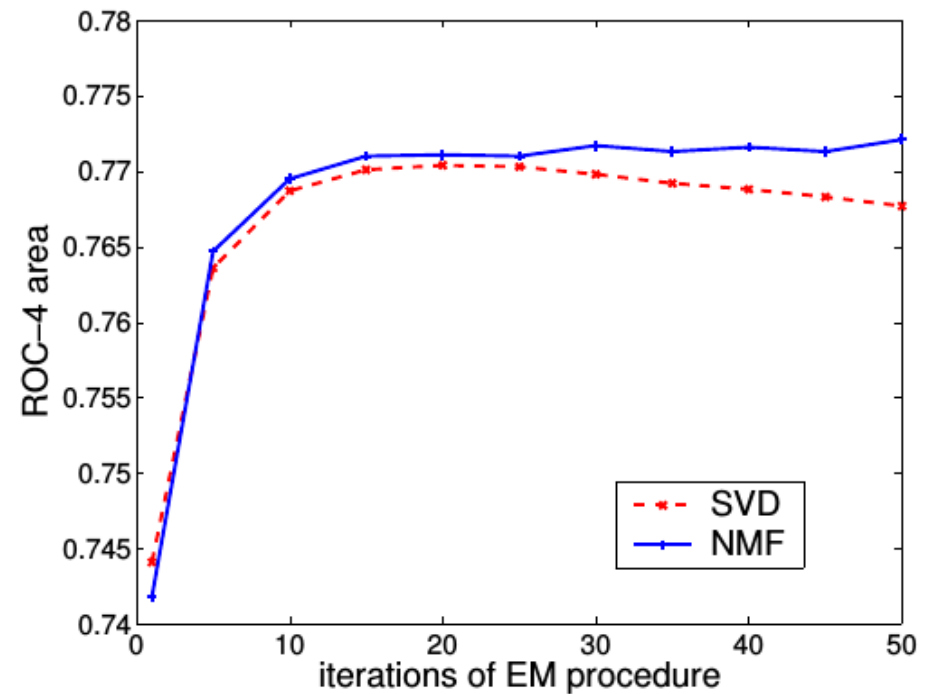
- 2 datasets:
 - (1) 1426x2945 (items x users) rating matrix de MovieLens.
 - (2) 100 x 3000 de Jester
- 5-fold cross-validation
- Métricas: NMAE + área ROC-4

Resultados: EM proc. vs WNMF

- SVD-based vs NMF-based EM approach:
 - En SVD, matriz de ratings normalizada por z-scores.
 - $k = 10$ en SVD y 20 en NMF.



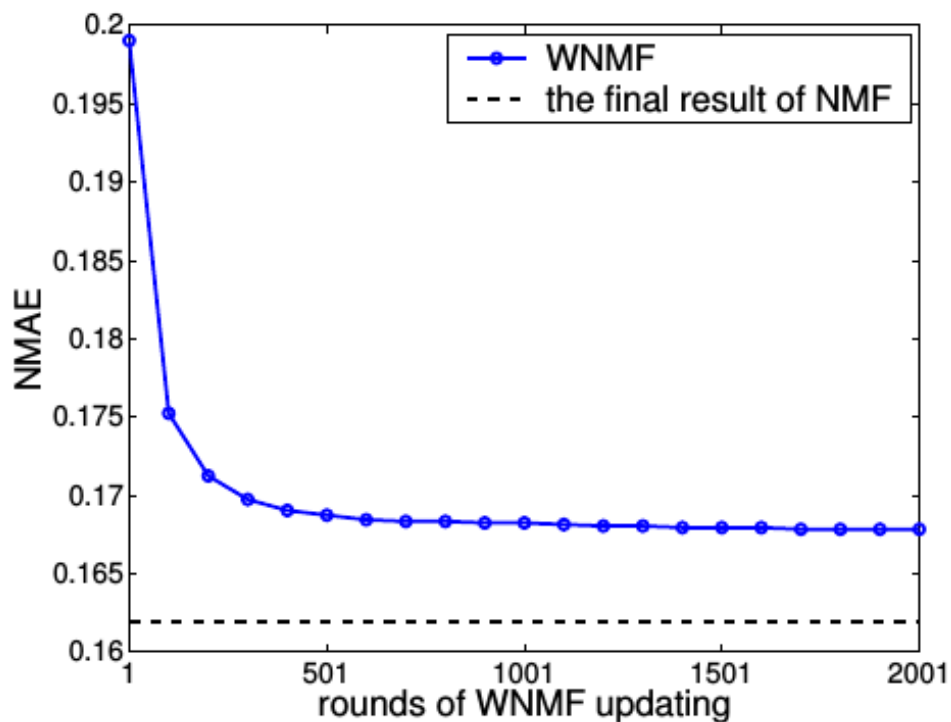
(a) NMAE



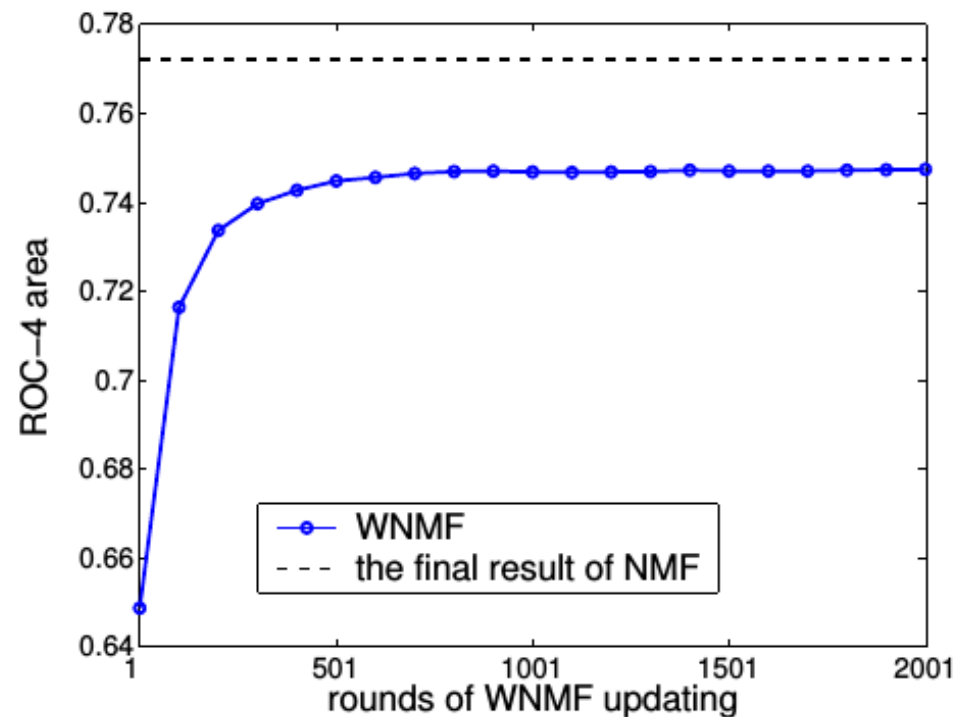
(b) ROC-4 area

Resultados: EM proc. vs WNMF

- WNMF (en NFM) en donde valores iniciales de U y V son aleatorios.



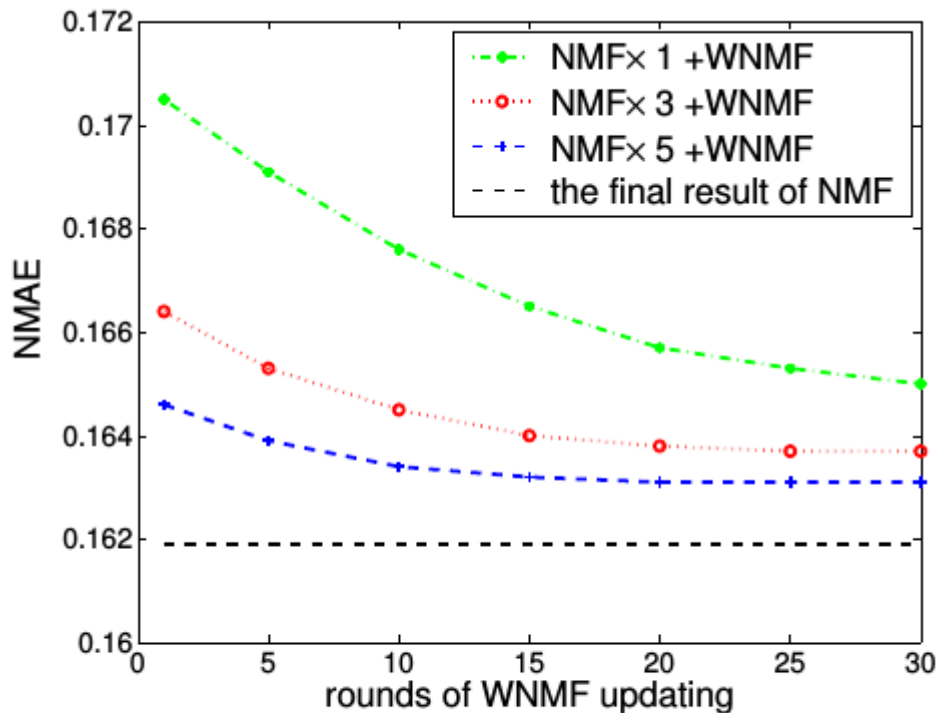
(a) NMAE



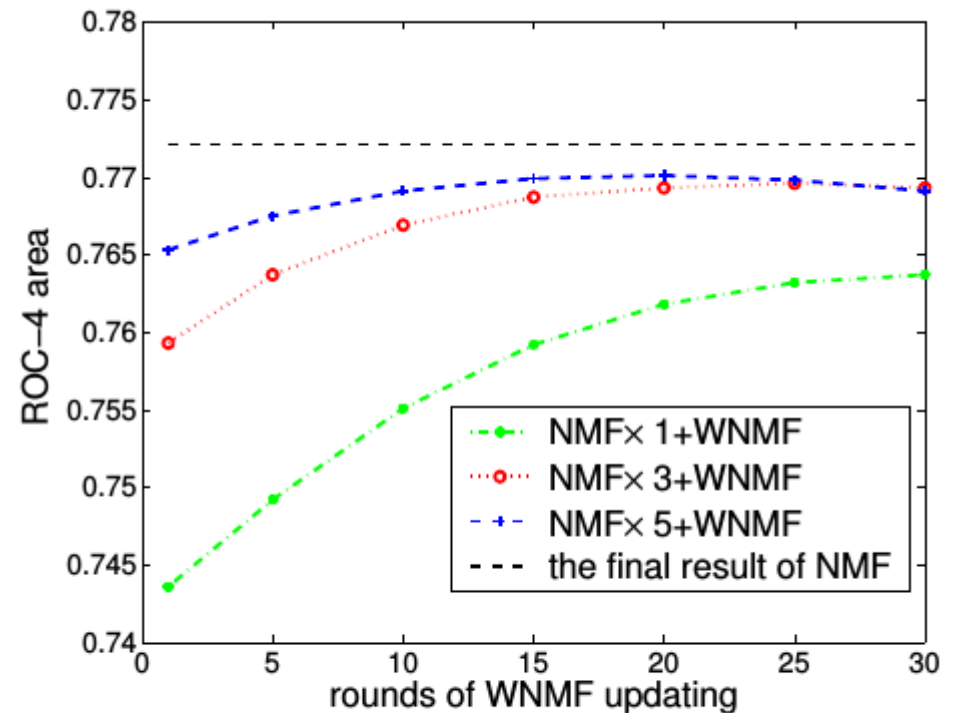
(b) ROC-4 area

Resultados: EM proc. vs WNMF

- Cada iteración del EM proc.: 303.3s. Cada ronda de actualización en WNMF: 1.27s
- Hibridación EM/WNMF: aplicación procedimiento EM por varias iteraciones \rightarrow obtención de un buen par $U, V \rightarrow$ aplicación WNMF.



(a) NMAE



(b) ROC-4 area

Resultados:

Algoritmos basados en NMF

- En NMAE, NMF+EM y SVD+EM obtienen mejores resultados.
- En área ROC-4, NMF+EM.

Table 1: Performance of CF algorithms on MovieLens.

	Pearson	SVD EM	NMF EM	Hybrid NMF
NMAE	0.1707	0.1629	0.1623	0.1634
ROC-4	0.7471	0.7682	0.7723	0.7691

Table 2: Performance of CF algorithms on Jester.

	Pearson	SVD EM	NMF EM	Hybrid NMF
NMAE	0.1634	0.1605	0.1599	0.1599
ROC-4	0.7539	0.7588	0.7612	0.7608

Discusión

Ventaja de NMF: coordenadas obtenidas reflejan directamente las características de las *comunidades de usuarios*.

Al ver las columnas de U podemos obtener una lista rankeada de las preferencias que tiene cada *grupo* sobre todos los ítems.

Interest Group 5	Interest Group 8	Interest Group 9
<u>Austin Powers: International Man of Mystery</u> (Comedy)	<u>Terminator 2: Judgment Day</u> (Action Sci-Fi Thriller)	<u>Dumb & Dumber</u> (Comedy)
<u>Austin Powers: The Spy Who Shagged Me</u> (Comedy)	<u>Die Hard</u> (Action Thriller)	<u>Ace Ventura: When Nature Calls</u> (Comedy)
<u>Clerks</u> (Comedy)	<u>Independence Day (ID4)</u> (Action Sci-Fi War)	<u>Ace Ventura: Pet Detective</u> (Comedy)
<u>Big Lebowski</u> (Comedy Crime Mystery Thriller)	<u>Matrix</u> (Action Sci-Fi Thriller)	<u>Home Alone 2: Lost in New York</u> (children's Comedy)
<u>Happy Gilmore</u> (Comedy)	<u>Speed</u> (Action Romance Thriller)	<u>Nutty Professor</u> (Comedy Fantasy Romance Sci-Fi)

Interest Group 17	Interest Group 19
<u>Pretty Woman</u> (Comedy Romance)	<u>Sound of Music</u> (Musical)
<u>Notting Hill</u> (Comedy Romance)	<u>Grease</u> (Comedy Musical Romance)
<u>Steel Magnolias</u> (Drama)	<u>Little Mermaid</u> (Animation Children's Comedy)
<u>Erin Brockovich</u> (Drama)	<u>Wizard of Oz</u> (Adventure Children's Drama Musical)
<u>Sleepless in Seattle</u> (Comedy Romance)	<u>Cinderella</u> (Animation Children's Musical)

Clustering con NMF

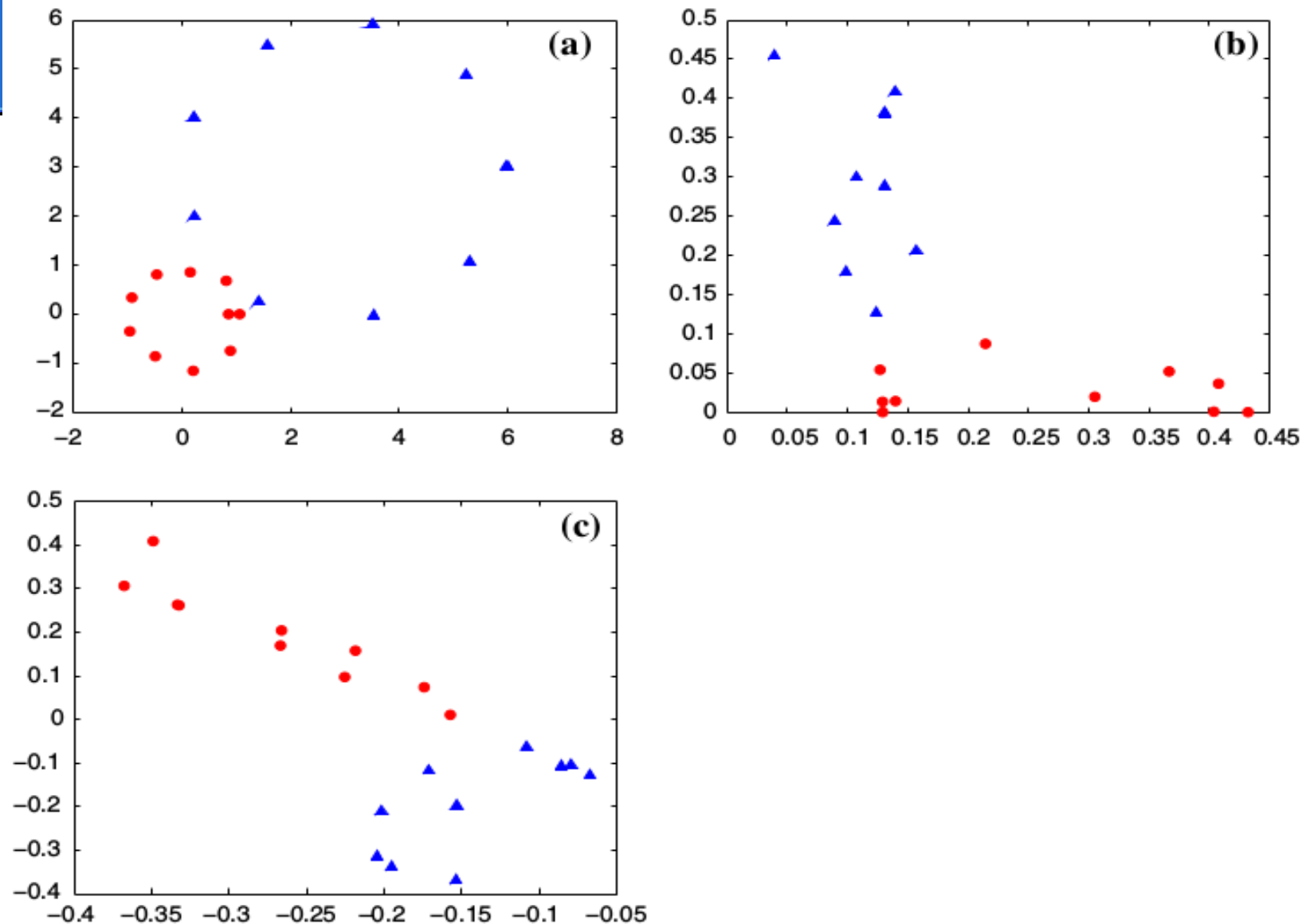


Fig. 1 **a** An artificial toy dataset consisting of two natural clusters. **b** Data distribution in the SS-NMF subspace of the two column vectors of \mathbf{G} . The data points from the two clusters get distributed along the two axes. **c** Data distribution in the SS-SNC subspace of the first two singular vectors. There is no relationship between the axes and the clusters

Referencias

- S. Zhang, W. Wang, J. Ford, and F. Makedon, “Learning from Incomplete Ratings Using Non-Negative Matrix Factorization,” Proc. Sixth SIAM Int’l Conf. Data Mining (SDM), pp. 549-553, 2006.
- Y. Chen, M. Rege, M. Dong, and J. Hua, “Non-negative matrix factorization for semi-supervised data clustering,” Knowl. Inf. Syst., 17, pp. 355–379, 2008.
- W. Xu, X. Liu, and Y. Gong, “Document clustering based on non-negative matrix factorization,” Proc. of the 26th Annual International ACM SIGIR Conference on Research and Development in Information Retrieval, ACM, New York, pp. 267–273, 2003.
- D. Lee and H.S. Seung, “Learning parts of objects by non-negative matrix factorization,” Nature 401, pp. 788-791, 1999.